

ФТТ

А К А Д Е М И Я Н А У К С С С Р

ФИЗИКА ТВЕРДОГО ТЕЛА

ТОМ

21

1979

ОТДЕЛЬНЫЙ ОТТИСК



«НАУКА»
ЛЕНИНГРАДСКОЕ ОТДЕЛЕНИЕ

СПИНОВЫЕ ВОЛНЫ И ИХ УСТОЙЧИВОСТЬ В НЕУПОРЯДОЧЕННЫХ ФЕРРОМАГНИТНЫХ МЕТАЛЛИЧЕСКИХ СПЛАВАХ

В. Коллей, Е. Коллей, А. Л. Куземский

На основе микроскопической теории Ферми-жидкости при нулевой температуре вычислена энергия длинноволновых спиновых волн в ферромагнитных сплавах переходных металлов. В когерентном горизонтальном лестничном приближении для модели Хаббарда со случайными параметрами проведено самосогласованное вычисление ренормировки коэффициента спин-волновой жесткости D за счет электрон-электронных корреляций. Коэффициент D получен численным образом и используется для определения устойчивости ферромагнитного состояния. Полученные результаты сравниваются с экспериментальными данными по рассеянию нейтронов для сплавов на основе Ni.

В зонной теории ферромагнетизма коэффициент жесткости D характеризует длинноволновые спиновые волны типа $\omega_q = Dq^2$ ниже щели Стонера в спектре возбуждений частица—дырка. Данные по D , полученные из неупругого рассеяния нейтронов для чистого Ni [1] и сплавов на основе Ni (см., например, [2-5]), можно описать в рамках зонной модели ферромагнетизма. Подход, наиболее часто применяемый [6-10] для вычисления D для сплавов в рамках модели Хаббарда [11] со случайными параметрами, основан на приближении хаотических фаз (RPA), в котором электрон-электронное взаимодействие учитывается в приближении Хартри—Фока (HF), а разупорядочение — в приближении когерентного потенциала (CPA) [12]. Схема расщепления в RPA приведена в работе [13]. Помимо вычисления D в рамках CPA, имеются также расчеты для сплавов в модели «жесткой зоны» (см. [5, 10]).

Для учета эффектов корреляции электронов при вычислении D в [14] была предложена схема, выходящая за рамки RPA и основанная на когерентном лестничном приближении (CLA) [15, 16], т. е. на самосогласованной комбинации CPA и локального лестничного приближения [17] в канале частица—частица. Такое T -матричное приближение удобно использовать для сильных короткодействующих взаимодействий и малой плотности носителей, так что его можно применить к Ni, Pd и Pt. Если зависящую от энергии T -матрицу заменить эффективным взаимодействием типа Канамори [18], как это делалось, например, при вычислении парамагнитной восприимчивости [19] и магнитоstriction [20], то снова приходим к теории спиновых волн в рамках RPA—CPA.

В настоящей статье, исходя из однозонной модели Хаббарда со случайными параметрами, мы найдем коэффициент D для неупорядоченных сплавов при нулевой температуре в рамках микроскопического Ферми-жидкостного подхода. Корреляционные эффекты вычисляются с сохранением энергетической зависимости T -матрицы. Численные результаты CLA по D сравниваются с экспериментальными данными для сплавов NiFe и NiPd. Кроме того, рассмотрена стабильность ферромагнетизма в рамках решений RPA—CPA.

1. Коэффициент жесткости с учетом электрон-электронных корреляций

Для описания ферромагнетизма в узкозонных сплавах A_cB_{1-c} достаточно воспользоваться гамильтонианом Хаббарда [11] со случайными параметрами

$$H^{(\nu)} = \sum_{\mathbf{k}\sigma} \varepsilon_{\mathbf{k}} n_{\mathbf{k}\sigma} + \sum_{i,j} \varepsilon_{ij}^{\nu} n_{i\sigma} + \sum_i U_i^{\nu} n_{i\uparrow} n_{i\downarrow}, \quad (1)$$

где $n_{\mathbf{k}\sigma}^{\nu}$ ($n_{i\sigma}$) — оператор чисел заполнения для состояний Блоха (Ванье) со спином σ , а $\varepsilon_{\mathbf{k}}$ — зонная энергия, которая предполагается независимой от заданной конфигурации $\{\nu\}$ сплава. Одночастичный потенциал ε_i^{ν} и затравочное внутриатомное кулоновское взаимодействие U_i^{ν} принимают случайные значения ε^{ν} и U^{ν} ($\nu=A, B$) в зависимости от того, заполнен ли узел i атомом A или B.

Энергию спиновых волн $\omega_q = Dq^2$ для кубических кристаллов можно определить по полюсу поперечной восприимчивости $\chi^{+-}(q, \omega)$, что приводит к следующему выражению для коэффициента жесткости

$$D = -\frac{1}{2 \langle \langle S_i^z \rangle \rangle_c} \lim_{\omega \rightarrow 0} \lim_{q \rightarrow 0} \left[\frac{\omega^2}{q^2} \left(\chi^{+-}(q, \omega) + \frac{2 \langle \langle S_i^z \rangle \rangle_c}{\omega} \right) \right], \quad (2)$$

где $2 \langle \langle S_i^z \rangle \rangle_c = (n_{\uparrow} - n_{\downarrow})$ — намагниченность на узел (n_{σ} — среднее число электронов на узел), $\langle \dots \rangle^{(\nu)}$ — среднее по основному состоянию при заданной конфигурации $\{\nu\}$, а $\langle \dots \rangle_c$ — среднее по конфигурациям. В работах [7, 10, 13] для сплавов была использована другая формула

$$D = \frac{1}{2 \langle \langle S_i^z \rangle \rangle_c} \left[\lim_{q \rightarrow 0} \frac{1}{q^2} \langle \langle [S_{\mathbf{q}}^+, qJ_{-\mathbf{q}}^-] \rangle \rangle_c - \lim_{\omega \rightarrow 0} \lim_{q \rightarrow 0} \chi_{J^+}^{+-}(q, \omega) \right], \quad (3)$$

записанная в терминах функции отклика $\chi_{J^+}^{+-}(q, \omega)$ для спинового тока (ср. [21]). В случае модели (1) Фурье-образы оператора плотности поперечного спина $S_{\mathbf{q}}^+$ (или $S_{\mathbf{q}}^- = (S_{\mathbf{q}}^+)^+$) и оператора тока $J_{\mathbf{q}}^+$ (или $J_{-\mathbf{q}}^- = (J_{\mathbf{q}}^+)^+$), которые здесь не зависят от случайных параметров, имеют вид

$$\left. \begin{aligned} S_{\mathbf{q}}^+ &= \frac{1}{\sqrt{N}} \sum_{\mathbf{k}} c_{\mathbf{k}\uparrow}^{\dagger} c_{\mathbf{k}+\mathbf{q}\downarrow}, \\ qJ_{\mathbf{q}}^+ &= \frac{1}{\sqrt{N}} \sum_{\mathbf{k}} (\varepsilon_{\mathbf{k}+\mathbf{q}} - \varepsilon_{\mathbf{k}}) c_{\mathbf{k}\uparrow}^{\dagger} c_{\mathbf{k}+\mathbf{q}\downarrow}, \end{aligned} \right\} \quad (4)$$

где $c_{\mathbf{k}\sigma}^{\dagger}$ ($c_{\mathbf{k}\sigma}$) — оператор рождения (уничтожения) электрона в состоянии $|\mathbf{k}\sigma\rangle$, N — число узлов решетки.

Восприимчивости, входящие в формулы (2), (3), могут быть выражены (ср. [14]) с помощью (4) через причинные функции Грина при нулевой температуре следующим образом

$$\begin{aligned} \chi^{+-}(q, \omega) &= -\langle \langle S_{\mathbf{q}}^+ S_{-\mathbf{q}}^- \rangle \rangle_{\omega}^{(\nu)} = \\ &= \frac{i}{N} \int \frac{dE}{2\pi} \langle \text{tr} \{ \Lambda_{0\uparrow\downarrow}^{(\nu)}(E, E + \omega; \mathbf{q}) G_{\downarrow\uparrow}^{(\nu)}(E + \omega) \lambda_0(-\mathbf{q}) G_{\uparrow\downarrow}^{(\nu)}(E) \} \rangle_c, \end{aligned} \quad (5)$$

$$\begin{aligned} q^2 \chi_{J^+}^{+-}(q, \omega) &= -\langle \langle qJ_{\mathbf{q}}^+, qJ_{-\mathbf{q}}^- \rangle \rangle_{\omega}^{(\nu)} = \\ &= -\frac{i}{N} \int \frac{dE}{2\pi} \langle \text{tr} \{ \Lambda_{1\uparrow\downarrow}^{(\nu)}(E, E + \omega; \mathbf{q}) G_{\downarrow\uparrow}^{(\nu)}(E + \omega) \lambda_1(-\mathbf{q}) G_{\uparrow\downarrow}^{(\nu)}(E) \} \rangle_c, \end{aligned} \quad (6)$$

где

$$\begin{aligned} \Lambda_{\alpha i j \uparrow \downarrow}^{(\nu)}(E, E + \omega; \mathbf{q}) &= \lambda_{\alpha i j}(\mathbf{q}) - \delta_{ij} \times \\ &\times \int \frac{d\bar{E}}{2\pi} i I_{i\uparrow\downarrow\downarrow\uparrow}^{(\nu)}(E, \bar{E} + \omega; \omega) \sum_{mn} G_{im\uparrow}^{(\nu)}(\bar{E}) \Lambda_{\alpha mn\uparrow\downarrow}^{(\nu)}(E, \bar{E} + \omega; \mathbf{q}) \times \\ &\times G_{ni\downarrow}^{(\nu)}(\bar{E} + \omega), \quad (\alpha=0, 1); \end{aligned} \quad (7)$$

$$\left. \begin{aligned} \lambda_{0ij}(\mathbf{q}) &= e^{-i\mathbf{qR}i} \delta_{ij}, \quad \lambda_{1ij}(\mathbf{q}) = t_{ij} (e^{-i\mathbf{qR}i} - e^{-i\mathbf{qR}j}), \\ t_{ij} &= \frac{1}{N} \sum_{\mathbf{k}} \varepsilon_{\mathbf{k}} e^{i\mathbf{k}(\mathbf{R}i - \mathbf{R}j)}. \end{aligned} \right\} \quad (8)$$

Здесь предполагалась локальность только неприводимой вершины частица—дырка $I_{i\uparrow\downarrow\downarrow\uparrow}^{(v)}(E, \bar{E} + \omega; \omega) \equiv I_{i\uparrow\downarrow\downarrow\uparrow}^{(v)}(E, \bar{E} + \omega; E + \omega, \bar{E})$, а tr означает суммирование (без спина) по одночастичным состояниям. Как видно, формула (3) более удобна для вычислений, чем (2), так как уравнение типа Бете—Солпитера (7) для $\alpha = 1$ можно решить без привлечения дальнейших предположений относительно $I_{i\uparrow\downarrow\downarrow\uparrow}$. Разложение λ_1 и эффективного тока $\Lambda_1^{(v)}$ с переворотом спина, входящих в (6) и (7), в первом порядке по \mathbf{q} и учет кубической симметрии приводят к формулам

$$\chi_{J^-}(\mathbf{q} = 0, \omega) = \frac{i}{3N} \int \frac{dE}{2\pi} \langle \text{tr} \{ \Lambda_{i\uparrow\downarrow}^{(v)}(E, E + \omega) G_{\downarrow}^{(v)}(E + \omega) jG_{\uparrow}^{(v)}(E) \} \rangle_c, \quad (9)$$

$$\begin{aligned} \Lambda_{i\uparrow\downarrow}^{(v)}(E, E + \omega) &= \mathbf{j}_{ij} - \delta_{ij} \int \frac{d\bar{E}}{2\pi} i I_{i\uparrow\downarrow\downarrow\uparrow}^{(v)}(E, \bar{E} + \omega; \omega) \times \\ &\times \sum_{mn} G_{im\uparrow}^{(v)}(\bar{E}) \Lambda_{1mn\uparrow\downarrow}^{(v)}(\bar{E}, \bar{E} + \omega) G_{ni\downarrow}^{(v)}(\bar{E} + \omega), \end{aligned} \quad (10)$$

$$\mathbf{j}_{ij} = -it_{ij}(\mathbf{R}_i - \mathbf{R}_j),$$

где введены обозначения $\lambda_1(\mathbf{q}) = \mathbf{qj}$ и $\Lambda_{i\uparrow\downarrow}^{(v)}(E, E + \omega; \mathbf{q}) = \mathbf{q} \Lambda_{i\uparrow\downarrow}^{(v)}(E, E + \omega)$. Под знаком шпура \mathbf{j} и $\Lambda^{(v)}$ образуют скалярное произведение.

Отделяя диагональные и недиагональные части $\Lambda_1^{(v)}$ в (9) и (10), получаем

$$\chi_{J^-}(\mathbf{q} = 0, \omega) = \frac{i}{3N} \int \frac{dE}{2\pi} \langle \text{tr} \{ jG_{\downarrow}^{(v)}(E + \omega) jG_{\uparrow}^{(v)}(E) \} \rangle_c + \bar{\chi}_{J^-}(\mathbf{q} = 0, \omega), \quad (11)$$

где

$$\bar{\chi}_{J^-}(\mathbf{q} = 0, \omega) = \frac{i}{3N} \int \frac{dE}{2\pi} \left\langle \sum_i \Lambda_{i\uparrow\downarrow}^{(v)}(E, E + \omega) K_{i\uparrow\downarrow}^{(v)}(E + \omega, E) \right\rangle_c, \quad (12)$$

$$K_{i\uparrow\downarrow}^{(v)}(E + \omega, E) = \sum_{mn} G_{im\downarrow}^{(v)}(E + \omega) \mathbf{j}_{mn} G_{ni\uparrow}^{(v)}(E). \quad (13)$$

Поскольку конфигурационное усреднение в (12) выходит за рамки СРА, мы воспользуемся приближением [14] $\langle \Lambda_1^{(v)} K^{(v)} \rangle_c = \langle \Lambda_1^{(v)} \rangle_c \langle K^{(v)} \rangle_c$, так что

$$K_{\downarrow\uparrow}(E + \omega, E) = \langle G_{\downarrow}^{(v)}(E + \omega) jG_{\uparrow}^{(v)}(E) \rangle_{cii} = \frac{1}{N} \sum_{\mathbf{k}} \mathcal{S}_{\mathbf{k}\downarrow}(E + \omega) \mathcal{S}_{\mathbf{k}\uparrow}(E) \nabla_{\mathbf{k}\varepsilon_{\mathbf{k}}} = 0 \quad (14)$$

и $\bar{\chi}_{J^-}(\mathbf{q} = 0, \omega) = 0$ (т. е. нет вершинных поправок) благодаря симметрии относительно обращения времени. Здесь $\mathcal{S}_{\mathbf{k}\sigma}$ — когерентная одночастичная функция Грина с учетом электрон-электронных корреляций (см. ниже). Таким образом, на основе СРА получается формула

$$\chi_{J^-}(\mathbf{q} = 0, \omega) = \frac{i}{3N} \int \frac{dE}{2\pi} \sum_{\mathbf{k}} \mathcal{S}_{\mathbf{k}\downarrow}(E + \omega) \mathcal{S}_{\mathbf{k}\uparrow}(E) (\nabla_{\mathbf{k}\varepsilon_{\mathbf{k}}})^2. \quad (15)$$

Подставляя (15) и предел

$$\lim_{q \rightarrow 0} \frac{1}{q^2} \langle \langle [S_{\mathbf{q}, \sigma}^+ J_{-\mathbf{q}}^-]^{(v)} \rangle \rangle_c = \frac{1}{6N} \sum_{\mathbf{k}\sigma} \langle \langle n_{\mathbf{k}\sigma} \rangle \rangle_c \nabla_{\mathbf{k}\varepsilon_{\mathbf{k}}}^2 \quad (16)$$

в формулу (3) и переходя от причинной к запаздывающей (« r ») функции Грина, приходим к результату

$$D = \frac{1}{6\pi(n_{\uparrow} - n_{\downarrow})} \text{Im} \int_{-\infty}^{\mu} dE \frac{1}{N} \sum_{\mathbf{k}} (\mathcal{S}_{\mathbf{k}\uparrow}^r(E) - \mathcal{S}_{\mathbf{k}\downarrow}^r(E))^2 (\nabla_{\mathbf{k}\varepsilon_{\mathbf{k}}})^2, \quad (17)$$

где μ — энергия Ферми. Это выражение формально совпадает с тем, которое следует из RPA—СРА [6, 7, 10] на основе приближения HF.

В настоящем расчете, однако, для функции $\mathcal{S}_{k\sigma}$ используется схема CLA [16]. Тогда корреляционная часть в терминах частично усредненных причинных функций имеет вид

$$\Sigma_{U_{ii\sigma}}^{\nu}(E) = \int \frac{d\bar{E}}{2\pi i} G_{ii-\sigma}^{\nu}(\bar{E}) T_i^{\nu}(E + \bar{E}), \quad (\nu = A, B) \quad (18)$$

$$T_i^{\nu}(E) = \left[\frac{1}{U_i^{\nu}} + \int \frac{d\bar{E}}{2\pi i} G_{ii\sigma}^{\nu}(\bar{E}) G_{ii-\sigma}^{\nu}(E - \bar{E}) \right]^{-1}, \quad (19)$$

где T_i^{ν} — эффективная двухчастичная вершина. Локальная функция Грина $G_{ii\sigma}^{\nu}(z)$, записанная в виде резольвенты (здесь z — комплексная энергия) перенормируется следующим образом

$$G_{ii\sigma}^{\nu}(z) = \frac{F_{\sigma}(z)}{1 - (\bar{\varepsilon}_{i\sigma}^{\nu}(z) - \Sigma_{\sigma}(z)) F_{\sigma}(z)}, \quad (20)$$

$$\bar{\varepsilon}_{i\sigma}^{\nu}(z) = \varepsilon_i^{\nu} + \Sigma_{U_{ii\sigma}}^{\nu}(z), \quad (21)$$

$$F_{\sigma}(z) = \frac{1}{N} \sum_{\mathbf{k}} \mathcal{S}_{k\sigma}(z), \quad (22)$$

$$\mathcal{S}_{k\sigma}(z) = (z - \varepsilon_{\mathbf{k}} - \Sigma_{\sigma}(z))^{-1}, \quad (23)$$

$$\Sigma_{\sigma}(z) = c \bar{\varepsilon}_{\sigma}^A(z) + (1 - c) \bar{\varepsilon}_{\sigma}^B(z) - [\bar{\varepsilon}_{\sigma}^A(z) - \Sigma_{\sigma}(z)] F_{\sigma}(z) [\bar{\varepsilon}_{\sigma}^B(z) - \Sigma_{\sigma}(z)], \quad (24)$$

$$n = \sum_{\sigma} n_{\sigma} = -\frac{1}{\pi} \sum_{\sigma} \int_{-\infty}^{\mu} dE \operatorname{Im} F_{\sigma}(E). \quad (25)$$

Здесь Σ_{σ} — когерентный потенциал, n — среднее число электронов на узел. В отличие от обычного СРА [12] атомный потенциал $\bar{\varepsilon}_{i\sigma}^{\nu}(z)$ (в (24) индекс i опущен) приобретает энергетическую зависимость благодаря массовому оператору $\Sigma_{U_{ii\sigma}}^{\nu}(z)$ за счет корреляций. В приближении HF решение систем уравнений (20)–(25) упрощается, так как вместо (18) и (19) используется собственная энергия $\Sigma_{U_{ii\sigma}}^{\nu HF} = U_{ii\sigma}^{\nu} n_{i-\sigma}^{\nu}$, где $n_{i\sigma}^{\nu}$ — среднее число электронов со спином σ на узлах ν , определяемое формулой

$$n_{i\sigma}^{\nu} = -\frac{1}{\pi} \int_{-\infty}^{\mu} dE \operatorname{Im} G_{ii\sigma}^{\nu}(E). \quad (26)$$

С учетом конкретной вершины $I_{i\uparrow\downarrow\uparrow}^{\{\nu\}}(E, \bar{E} + \omega; \omega) = -T_i^{\{\nu\}}(E + \bar{E} + \omega)$ и заменой $\nu \rightarrow \{\nu\}$ мы находим из уравнений (7), (18) и (19) соотношение типа Уорда—Такахаши

$$\omega \Lambda_{0i\uparrow\downarrow}^{\{\nu\}}(E, E + \omega; \mathbf{q}) \delta_{ij} - \Lambda_{1ij\uparrow\downarrow}^{\{\nu\}}(E, E + \omega; \mathbf{q}) = e^{-i\mathbf{qR}i} G_{ij\downarrow}^{\{\nu\}-1}(E + \omega) - G_{ij\uparrow}^{\{\nu\}-1}(E) e^{-i\mathbf{qR}j}, \quad (27)$$

причем

$$(G^{\{\nu\}-1}(E))_{ij\sigma} = (E - \varepsilon_i^{\nu}) \delta_{ij} - t_{ij} - \Sigma_{U_{ii\sigma}}^{\{\nu\}}(E) \delta_{ij}. \quad (28)$$

Условие устойчивости основного состояния ферромагнетика относительно спин-волновых возбуждений

$$\hat{D} = D(n_{\uparrow} - n_{\downarrow}) > 0 \quad (29)$$

можно получить из спектрального представления

$$\chi^{+-r}(\mathbf{q}, \omega) = -\frac{1}{2\pi} \int_{-\infty}^{\infty} d\omega' \frac{\operatorname{sign} \omega'}{\omega - \omega' + i\varepsilon} \hat{I}_{S_{\mathbf{q}}^+ S_{-\mathbf{q}}^-}(\omega'), \quad (30)$$

где спектральная интенсивность $\hat{I}_{S_{\mathbf{q}}^+ S_{-\mathbf{q}}^-}(\omega) \geq 0$ относится к конфигурационно-усредненной системе. Магнонный полюс

$$\chi_p^{+-r}(\mathbf{q}, \omega) = -\frac{n_{\uparrow} - n_{\downarrow}}{\omega - Dq^2 + i\varepsilon} \quad (31)$$

для малых q и ω может быть выделен из континуума Стонера, поскольку спектральный вес возбуждений пар частица—дырка стремится к нулю при $q \rightarrow 0$. Сравнение (30) и (31) приводит к критерию (29). В данном приближении спин-волновое затухание γ_q (вместо $\varepsilon \rightarrow 0$ в (31)) принимает вид

$$\gamma_q = \frac{q^2}{n_{\uparrow} - n_{\downarrow}} \text{Im} \chi_{J^{+-r}}(0, Dq^2) = \frac{Dq^4}{3\pi(n_{\uparrow} - n_{\downarrow})N} \sum_{\mathbf{k}} \text{Im} \mathcal{S}_{\mathbf{k}\uparrow}^r(\mu) \text{Im} \mathcal{S}_{\mathbf{k}\downarrow}^r(\mu) (\nabla_{\mathbf{k}\varepsilon_{\mathbf{k}}})^2, \quad (32)$$

как и в RPA—CPA [8], однако здесь учитывается электрон-электронное рассеяние.

2. Результаты численных расчетов и обсуждение

Для проведения части расчета D в аналитической форме мы воспользовались упрощенными выражениями [22]

$$\frac{1}{N} \sum_{\mathbf{k}} \delta(E - \varepsilon_{\mathbf{k}}) = \frac{2}{\pi w} \left[1 - \left(\frac{E}{w} \right)^2 \right]^{1/2} \theta(w - |E|), \quad (33)$$

$$\frac{1}{N} \sum_{\mathbf{k}} \delta(E - \varepsilon_{\mathbf{k}}) (\nabla_{\mathbf{k}\varepsilon_{\mathbf{k}}})^2 = \frac{2v_m^2}{\pi w} \left[1 - \left(\frac{E}{w} \right)^2 \right]^{3/2} \theta(w - |E|), \quad (34)$$

где w — полуширина зоны, v_m — величина порядка wa , a — параметр решетки. Суммирование по \mathbf{k} в (22) приводит с учетом невозмущенной плотности состояний (33) к функции Грина

$$F_{\sigma}(z) = \frac{2}{w} (z_{\sigma} - i\sqrt{1 - z_{\sigma}^2}), \quad z_{\sigma} = \frac{z - \Sigma_{\sigma}(z)}{w}. \quad (35)$$

Чтобы сделать (35) однозначным, мы выбрали ту ветвь в плоскости z_{σ} с разрезом вдоль действительной оси от -1 до $+1$, где квадратный корень положителен на верхнем берегу разреза.

Переписывая (17) в виде

$$D = \frac{1}{6\pi(n_{\uparrow} - n_{\downarrow})} \text{Im} \int_{-\infty}^{\mu} dE [\Pi_{\uparrow\uparrow}^{rr}(E) + \Pi_{\downarrow\downarrow}^{rr}(E) - \Pi_{\uparrow\downarrow}^{rr}(E)], \quad (36)$$

где введены обозначения $\Pi_{\sigma\sigma'}^{rr}(E) \equiv \Pi_{\sigma\sigma'}(E^+, E^+)$, $E^+ = E + i0$ и

$$\Pi_{\sigma\sigma'}(z, z') = \frac{1}{N} \sum_{\mathbf{k}} \mathcal{S}_{\mathbf{k}\sigma}^r(z) \mathcal{S}_{\mathbf{k}\sigma'}^r(z') (\nabla_{\mathbf{k}\varepsilon_{\mathbf{k}}})^2, \quad (37)$$

затем применяя теорему о вычетах при суммировании по \mathbf{k} в (37) с учетом аппроксимации (34), найдем

$$\Pi_{\sigma\sigma}^{rr} = \frac{2v_m^2}{w^2} \left(3z_{\sigma}^2 - \frac{3}{2} - 3iz_{\sigma}\sqrt{1 - z_{\sigma}^2} \right) \quad z_{\sigma} = \frac{E^+ - \Sigma_{\sigma}(E^+)}{w}, \quad (38)$$

$$\Pi_{\uparrow\downarrow}^{rr} = \frac{2v_m^2}{w^2} \left(z_{\uparrow}^2 + z_{\downarrow}^2 + z_{\downarrow}z_{\uparrow} - \frac{3}{2} + i \frac{(1 - z_{\uparrow}^2)^{3/2} - (1 - z_{\downarrow}^2)^{3/2}}{z_{\uparrow} - z_{\downarrow}} \right). \quad (39)$$

Следовательно,

$$D = \frac{v_m^2}{3\pi w^2(n_{\uparrow} - n_{\downarrow})} \text{Im} \int_0^{\mu} dE \left[(z_{\uparrow} - z_{\downarrow})^2 - i\sqrt{1 - z_{\uparrow}^2} \left(3z_{\uparrow} + \frac{z(1 - z_{\uparrow}^2)}{z_{\uparrow} - z_{\downarrow}} \right) - i\sqrt{1 - z_{\downarrow}^2} \left(3z_{\downarrow} - \frac{2(1 - z_{\downarrow}^2)}{z_{\uparrow} - z_{\downarrow}} \right) \right]. \quad (40)$$

Скалярная статическая электропроводность σ вычисляется в том же приближении, что и D . В результате приходим к модифицированной формуле Кубо--Гринвуда

$$\sigma = \frac{e^2 N}{6\pi V} \sum_{\sigma} [\Pi_{\sigma\sigma}^{ra}(\mu) - \text{Re} \Pi_{\sigma\sigma}^{rr}(\mu)] \equiv \sum_{\sigma} \sigma_{\sigma}, \quad (41)$$

которая содержит функции Грина, перенормированные за счет электронных корреляций в рамках CLA. Здесь $\Pi_{\sigma\sigma}^{ra}(\mu) \equiv \Pi_{\sigma\sigma}(\mu^+, \mu^-)$, $\mu^- = \mu - i0$,

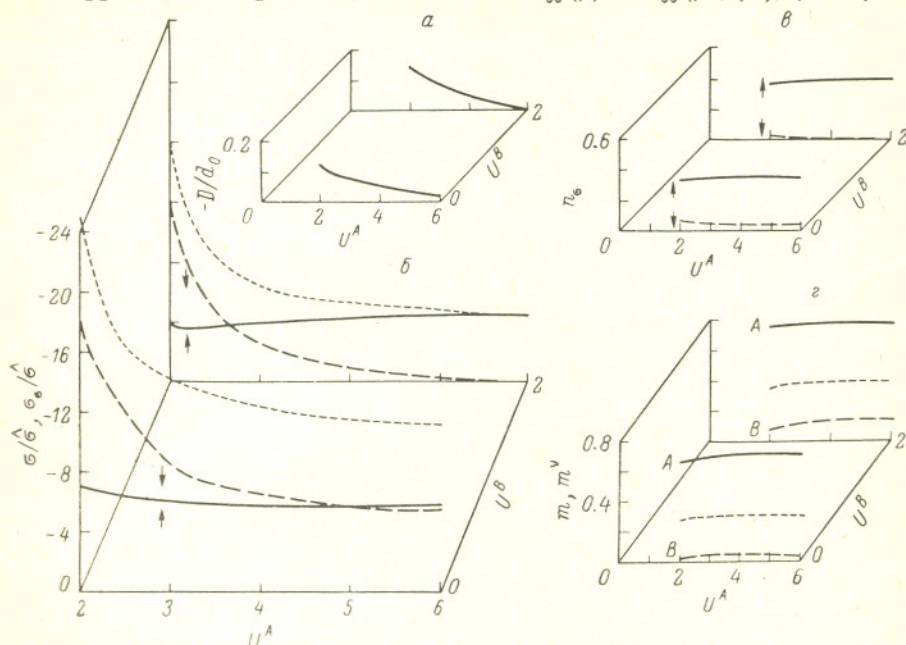


Рис. 1.

a — коэффициент спин-волновой жесткости $D < 0$ (нестабильный случай); b — статические электропроводности σ_{σ} , σ ; ϵ — плотность электронов n_{σ} ; z — намагниченности m^y, m в зависимости от U^y ($y = A, B$); приближение Хартри--Фока; параметры $(w, \epsilon^A, \epsilon^B, c, n) = (1, -0.8, 0, 0.4, 0.4)$.

V — объем системы, e — единичный заряд. Вводя (38) и (39) с заменой $\Pi_{\sigma\sigma}^{ra} = \Pi_{\uparrow\downarrow}^{r\downarrow} [z_{\uparrow} \rightarrow \hat{z}_{\sigma}, z_{\downarrow} \rightarrow \hat{z}_{\sigma}^*]$ в формулу (41), мы получим зависящую от спина электропроводность (при $\text{Im} \Sigma_{\sigma}(\mu^+) < 0$)

$$\sigma_{\sigma} = 8\pi \left[\frac{2 (\text{Im} \Sigma_{\sigma}(\mu^+))^2}{w^2} + \frac{w}{\text{Im} \Sigma_{\sigma}(\mu^+)} \text{Re} \left\{ i \sqrt{1 - z_{\sigma}^2} \left(i(1 - z_{\sigma}^2) + \frac{3}{w} z_{\sigma} \text{Im} \Sigma_{\sigma}(\mu^+) \right) \right\} \right], \quad (42)$$

где

$$z_{\sigma} = \frac{\mu^+ - \Sigma_{\sigma}(\mu^+)}{w}, \quad \vartheta = \frac{e^2 v_m^2 N}{3\pi^2 V}. \quad (43)$$

Численный анализ проводится следующим образом: сначала выбираются параметры $w, \epsilon^A, \epsilon^B=0, U^A, U^B, c, n$; затем решается самосогласованная система уравнений (18)–(25) с функцией Грина (35). Полученные результаты используются для нахождения D по формуле (40).

На рис. 1 показана переходная область между слабым и сильным ферромагнетизмом в зависимости от внутриатомного отталкивания U^y , рассматриваемого здесь в приближении HF. В частности, в работе [23] были исследованы решения с параметрами $U^A=2, U^B=0$ и $U^A=2, U^B=2$, но спиновые волны не рассматривались. Расчеты коэффициента жесткости D (в единицах $d_0 = \frac{1}{9} w a^2$) в RPA—CPA (рис. 1, a) указывают на нестабильность ферромагнитного состояния относительно возбуждения

спиновых волн. Парциальные и полная средние намагниченности $m^y = n_\uparrow^y - n_\downarrow^y$ и $m = n_\uparrow - n_\downarrow$ изображены на рис. 1, *з*. На рис. 2 намечена ограниченная область стабильного (в основном насыщенного) ферромагнетизма ($D > 0$ (рис. 2, б), $m^y > 0$ (рис. 2, а)), рассчитанная в хартри-фоковском приближении в зависимости от плотности электронов n . Нуль D при наименьшем значении n соответствует приблизительно критерию Стонера [16], тогда как другой нуль говорит об изменении типа магнитного порядка.

Расчеты для сплавов NiPd были проведены в СЛА, и эти результаты (рис. 2, *в*, *г*) сравниваются с данными работы [24]. Параметры для чистых систем выбирались на основе [20]. Сплав формируется с $n = cn^{\text{Pd}} +$

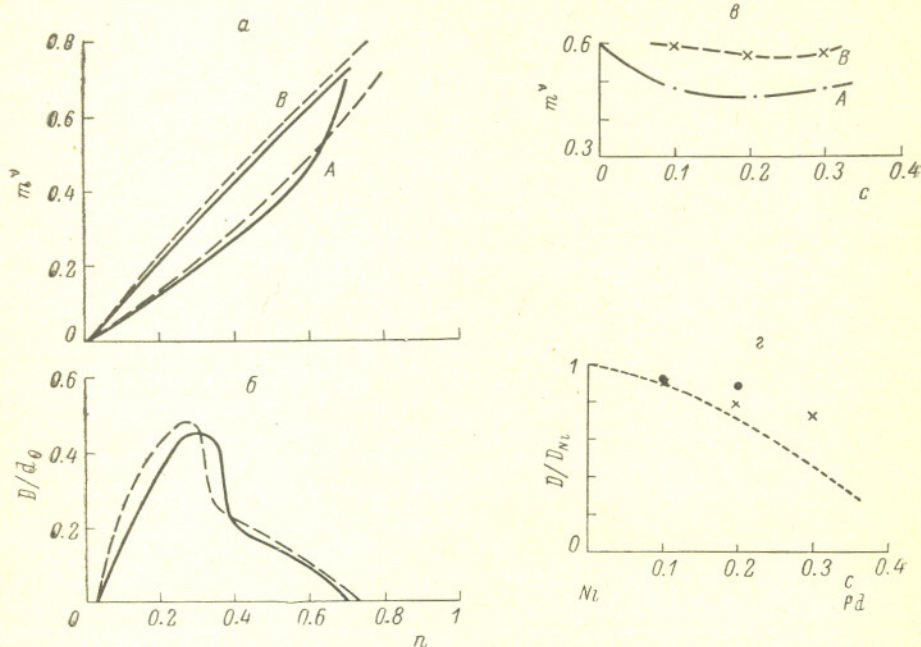


Рис. 2.

а — парциальная намагниченность m^y , *б* — коэффициент жесткости D , *в* — парциальная намагниченность m^y , *г* — спиноволновая жесткость D (x).
Графики *в* и *г* относятся к случаю сплава $\text{Pd}_c\text{Ni}_{1-c}$; зависимость от c рассчитана в когерентном лестничном приближении. $(2w)^{\text{Pd}}, (2w)^{\text{Ni}}, \epsilon^{\text{Pd}} - \epsilon^{\text{Ni}}, U^{\text{Pd}}, U^{\text{Ni}} = (6.05, 4.15, 0.3, 9.17, 14.11)$ эВ, $n^{\text{Pd}} = 0.4, n^{\text{Ni}} = 0.6$. На *г* штриховые кривые — расчет [24], пунктир — эксперимент (ср. [24]).

$+ (1-c)n^{\text{Ni}}$, а различные интегралы перескока учитываются через ширину зоны

$$2w = c(2w)^{\text{Pd}} + (1-c)(2w)^{\text{Ni}}.$$

Заметим, что в приведенных единицах величины $U^{\text{Pd}}, U^{\text{Ni}}, \epsilon^{\text{Pd}} - \epsilon^{\text{Ni}}$ для всех c приводятся к шкале $2w=1$. Затравочные U^y перенормируются самоогласованным образом, в результате чего имеем двухчастичные вершины $T_i^y (E+\bar{E})$. Расчеты величин $\Gamma^y = T_i^y(2\mu)$ и $\Gamma = c\Gamma^A + (1-c)\Gamma^B$ в приведенных единицах можно найти в [25]. В той же работе [25] для случая сплавов NiFe дано сравнение расчетов $D(x)$ на основе СЛА с результатами, полученными в рамках RPA—CPA [7, 9] теории «жесткой зоны» [10], а также с данными по неупругому рассеянию нейтронов [1-3]. Коэффициент жесткости для чистого никеля оказывается близким к величине $D_{\text{Ni}} = 555$ мэВ \AA^2 , измеренной при 4.2 К [1].

Проведенный анализ показывает, что степень жесткости магновидной подсистемы сплава довольно чувствительно зависит от того, как мы учитываем межэлектронную корреляцию.

Численные результаты, полученные в рамках СЛА, указывают на влияние электрон-электронных корреляций на энергию магновидных в длин-

новолновом пределе $\omega_q = Dq^2$. Несмотря на однозонное приближение в модели Хаббарда с упрощенной структурой зоны и диагональным беспорядком, для сплавов на основе Ni получены физически разумные значения D . Для зависящих от энергии двухчастичных вершин предполагается локальность, что позволяет сохранить одноузельный характер СРА. Спин-волновое затухание оказывается малым, по крайней мере порядка q^4 . Таким образом, в работе предложен самосогласованный метод для нахождения стабильного ферромагнетизма в сплавах переходных металлов.

Авторы благодарны Н. М. Плакиде за чтение рукописи и полезные советы.

Л и т е р а т у р а

- [1] H. A. Mook, J. W. Lynn, R. M. Nicklow. Phys. Rev. Lett., 30, 556, 1973.
- [2] M. Hennion, B. Hennion, A. Castets, D. Tocchetti. Sol. St. Commun., 17, 899, 1975.
- [3] K. Mikke, J. Jankowska, A. Modrzejewski. J. Phys. F, 6, 631, 1976.
- [4] M. Hennion, B. Hennion. J. Phys. F, 8, 287, 1978.
- [5] B. Hennion, M. Hennion. Preprint PSRM, 1510, CEN. Saclay, 1978.
- [6] H. Fukuyama. AIP Conf. Proc., 10, 1127, 1973.
- [7] D. J. Hill, D. M. Edwards. J. Phys. F, 3, L162, 1973.
- [8] H. Fukuyama. J. Physique, 35, C4-141, 1974.
- [9] R. Riedinger, M. Nauciel-Bloch. J. Phys. F, 5, 732, 1975.
- [10] D. M. Edwards, D. J. Hill. J. Phys. F, 6, 607, 1976.
- [11] J. Hubbard. Proc. Roy. Soc., A276, 238, 1963.
- [12] B. Velický, S. Kirkpatrick, H. Ehrenreich. Phys. Rev., 175, 747, 1968.
- [13] A. Jezierski. Acta Phys. Pol., A51, 839, 1977.
- [14] E. Kolley, W. Kolley. Commun. JINR, E17-11771, Dubna, 1978.
- [15] E. Kolley, W. Kolley. Phys. St. Sol. (b), 81, 735, 1977.
- [16] E. Kolley, W. Kolley. Phys. St. Sol. (b), 86, 397, 1978.
- [17] Ю. А. Бабанов, В. Е. Найш, О. Б. Соколов, В. К. Финашкин. ФММ, 35, 1123, 1973; ФММ, 35, 1132, 1973.
- [18] J. Kanamori. Progr. Theor. Phys. (Kyoto), 30, 275, 1963.
- [19] S. Hirooka, M. Shimizu. J. Phys. Soc. Japan, 43, 70, 1977.
- [20] S. Hirooka, M. Shimizu. J. Phys. Soc. Japan, 43, 477, 1977.
- [21] D. M. Edwards, B. Fisher. J. Physique, 32, C1-697, 1971.
- [22] B. Velický. Phys. Rev., 184, 614, 1969.
- [23] G. F. Abito, J. W. Schweitzer. Phys. Rev. B, 11, 37, 1975.
- [24] A. Jezierski. Acta Phys. Pol., A52, 413, 1977.
- [25] E. Kolley, W. Kolley, A. L. Kuzemsky. Preprint JINR, E17-11899, Dubna, 1978.

Поступило в Редакцию
6 октября 1978 г.
В окончательной редакции
11 июня 1979 г.